



بررسی تجربی دگرسانی قلیایی توف‌های ریولیتی و تشکیل هیدروکسی سودالیت در شرایط گرمابی

سمیه توکلی^۱، فرامرز طوطی^{*۱}، محمدعلی برقی^۱، علیرضا بدیعی^۲

۱- پردیس علوم، دانشکده زمین‌شناسی، دانشگاه تهران

۲- پردیس علوم، دانشکده شیمی، دانشگاه تهران

(دریافت مقاله: ۸۸/۴/۲۳ ، سخن نهایی: ۸۸/۶/۲۸)

چکیده: به منظور بررسی فراورده‌های دگرسانی توف‌های ریولیتی، نمونه‌های مناسبی از نهشته‌های آذراواری منطقه‌ی دارآباد، در شمال شرق تهران، انتخاب و پس از پودر شدن، تحت تأثیر آبغون‌های حاوی یون‌های Na^+ و K^+ قرار گرفتند. تأثیر تغییرات دما، زمان و غلظت یون‌های آبغون، در فراورده‌های حاصل از دگرسانی توف‌های یادشده بررسی شدند. از نمک قلیایی پتاس و نمک طعام آبغون‌هایی با غلظت ۷/۵ تا ۱/۲۵ مول بر لیتر تهیه و در آزمایش‌های گرمابی در دماهای 100°C و 150°C مورد استفاده قرار گرفتند. فراورده‌های حاصل از واکنش، با استفاده از دستگاه‌های پراش‌سنج پودری پرتو ایکس و میکروسکوپ الکترونی روشی شناسایی شدند. نتایج بررسی‌ها نشان داد که در حضور آبغون‌های پتاس و نمک طعام، با افزایش دما و غلظت یون Na^+ و افزایش pH، مقدار کوارتز کاهش و مقدار آلبیت افزایش می‌یابد (دگرسانی سدیمی)، تا جایی که در دماهای 150°C و غلظت بالای یون‌های سدیم و پتاسیم ۷/۵ مول بر لیتر) کوارتز به طور کلی حل شده، آلبیت با تبادل کاتیونی پتاسیم به جای سدیم، تبدیل به ارتوکلاز شده (دگرسانی پتاسی) و کانی هیدروکسی سودالیت تشکیل می‌شود (دگرسانی زئولیتی). بررسی‌های XRD از طریق محاسبات کمترین مریعات، سیستم تبلور مکعبی با ابعاد یاخته یکه‌ی $a_0 = 8,876\text{\AA}$ را برای هیدروکسی سودالیت پیشنهاد می‌کند.

واژه‌های کلیدی: توف‌های ریولیتی، دگرسانی گرمابی، آبغون‌های قلیایی، هیدروکسی سودالیت.

طی فرایندهای دگرسانی، توف‌های شیشه‌ای تحت تأثیر شیشه‌زدایی، کانی‌زایی فاز بخار و کانی‌زایی رسی و زئولیتی قرار می‌گیرند. در مرحله‌ی شیشه‌زدایی کانی‌هایی نظیر کوارتز و فلدسپار ریز بلور با مقادیر کمی از کانی‌های دیگر تشکیل می‌شوند که به تبلور دوباره‌ی شیشه‌های آتشفشاری در دماهای نسبتاً بالا وابسته‌اند، در حالی که در دگرسانی فاز بخار سیلیکات‌های آبدار، اکسیدها و کانی‌های دیگر از برهمکنش

مقدمه

توف‌ها سنگ‌های آذراواری دارای بیش از ۷۵ درصد قطعات کوچکتر از ۲ میلی‌مترند (خاکستر) که بر اساس اندازه‌ی ذرات تشکیل‌دهنده [۱] و یا نسبت بلور، شیشه و قطعات سنگی رده-بندی می‌شوند [۲]. بیشتر توف‌ها دارای ترکیب اسیدی (ریوداسیتی، داسیتی و ریولیتی) هستند که در شرایط مختلف زمین‌شناسی تحت تأثیر دگرسانی‌های متنوعی قرار می‌گیرند.

* نویسنده مسئول، تلفن: ۰۲۱ (۶۶۴۹۱۶۲۳)، نمبر: ۰۲۱ (۶۶۱۱۱)، پست الکترونیکی: tutti@khayam.ut.ac.ir

مىشود، در صورتی که مواد با سیلیس متوسط، زئولیت‌های کم سیلیس مثل شابازیت و فیلیپسیت تشکیل می‌دهند. همراه با زئولیت‌های کم سیلیس (شابازیت و فیلیپسیت) انبوهه‌های کانیایی بسیار کمیاب شامل مقادیر ناچیز آنالسیم، بیوتیت، پیروکسن، مواد شیشه‌ای واکنش نیافته و کانی‌های رسی می‌تواند حضور داشته باشد [۶]. توفهای غنی از کلینوپتیلولیت، بهطور گستردگی در مکان‌های متعدد در سراسر دنیا گسترش یافته‌اند و ذخایر آن‌ها همواره در حال پی‌جويی و بهره‌برداری است. در حال حاضر نهشته‌های بهره‌برداری شده در اروپا (بلغارستان، یونان) [۷]، در روسیه، گرجستان، در آسیا (چین، ایران، ژاپن)، در افریقای جنوبی، در استرالیا و نیوزیلند و در بعضی کشورهای آمریکایی، نظیر مکزیک و ایالات متحده وجود دارند. موردنیت در چندین نهشته در اروپای شرقی (اسلواکی و یوگسلاوی)، در ژاپن، روسیه، ایالات متحده و نیوزیلند وجود دارد [۸]. نهشته‌های تک کانی از فیلیپسیت و شابازیت کمیاب است [۹، ۱۰]. این دو کانی در ایتالیا، آلمان و اسپانیا نسبتاً فراوانند [۱۱].

بررسی‌های آزمایشگاهی متعددی در زمینه دگرسانی توفها با ترکیبات شیمیایی نسبتاً متنوعی صورت گرفته است که به شناخت و مدل‌سازی شرایط طبیعی تشکیل آن‌ها کمک‌های شایان توجهی کرده است. از آن جمله، هیروشی و همکاران، از دگرسانی سانتی‌گراد و تحت‌تأثیر Na_2SiO_3 آبگون در ۲۰۰ درجه‌ی سانتی‌گراد، متوجه شدند، که در ۵۰ تا ۲۶۰ ساعت آنالسیم سنتز کرد، متوجه شدند، که فراورده‌های دگرسانی توفهای سبز، آنالسیم بیشتری نسبت به توف ریولیتی در بر خواهد داشت [۱۲]. فونت و همکاران، دگرسانی توفهای Almeria (جنوب شرق اسپانیا) را به ایلیت و اسماکتیت تحت تأثیر آبگون‌های با نسبت Na^+/K^+ (۰/۰۱، ۰/۰۱، ۰/۰۳۳، ۰/۰۲، ۰/۰۱) و غلظت‌های ۱۰۰ و ۱۰۰ روز مورد بررسی قرار دادند [۱۳].

با توجه به پیچیده بودن و اهمیت دگرسانی توفهای ریولیتی و عدم وجود آگاهی‌های کافی در این زمینه، به بررسی فراورده‌های دگرسانی قلیایی توفهای ریولیتی در شرایط آزمایشگاهی نزدیک به شرایط طبیعی زمین‌شناسی پرداخته

شاره‌ی داغ با مواد آذرآواری تشکیل می‌شوند (مانند دگرسانی فاز بخار در توفهای چشمۀ توپوپاه در نوادا و باندلیر در نیو مکزیک) و در نهایت کانی‌های رسی و زئولیتی ممکن است در دگرسانی دریایی و دریاچه‌ای توفهای یادشده شکل گیرند [۳]. دگرسانی را بر مبنای یک یا چند کانی مهم تفکیک کرده و به هر بخش یک زون گفته می‌شود. دگرسانی‌های مهم در توف‌ها عبارتند از دگرسانی پتاسی، پروپلیتی، سریسیتی، آرژیلیتی، آلونیتی، زئولیتی، آلبیتی، سیلیسی، فنیتی و کلربیتی که در این کار پژوهشی، دگرسانی آلبیتی، پتاسیک و زئولیتی در مقیاس آزمایشگاهی مورد بررسی قرار گرفتند.

دگرسانی آلبیتی یا سدیمی، حاصل اضافه شدن سدیم (ناشی از شکسته شدن پلازیوکلازهای کلسیکتر) از طریق گرمابی‌هاست که با جانشینی کوارتز و فلدسپار با آلبیت همراه است [۴]. دگرسانی پتاسی با جانشینی فلدسپار و کوارتز به‌وسیله فلدسپار پتاسیم مشخص می‌شود. دگرسانی سدیمی و پتاسی یادشده در مناطق مختلفی از جمله در منطقه‌ی کبک کانادا گزارش شده‌اند [۵]. رس‌ها و زئولیت‌ها فراورده‌های معمول توف‌های دگرسان موجود در محیط‌های دریایی و دریاچه‌ای هستند. برهمکنش شیشه و آب با pH متوسط با قدرت یونی پایین، کانی‌های رسی (معمولًاً ایلیت و اسماکتیت) و در آبگون‌های با pH بالاتر با قدرت یونی بالاتر، کانی‌های زئولیتی تشکیل می‌دهند [۳]. با توجه به اهمیت اقتصادی زئولیت‌ها و کاربردهای فراوان صنعتی آن‌ها و نیز با در نظر گرفتن اینکه ذخایر معدنی مهم زئولیتی حاصل از دگرسانی توف‌ها در محیط‌های دریایی و دریاچه‌ای (زئولیت‌های دیازنیک) هستند، لذا بررسی‌های گستردگی در زمینه‌ی دگرسانی توفها و شرایط تشکیل زئولیت‌های حاصل از آن‌ها در محیط‌های طبیعی صورت گرفته است.

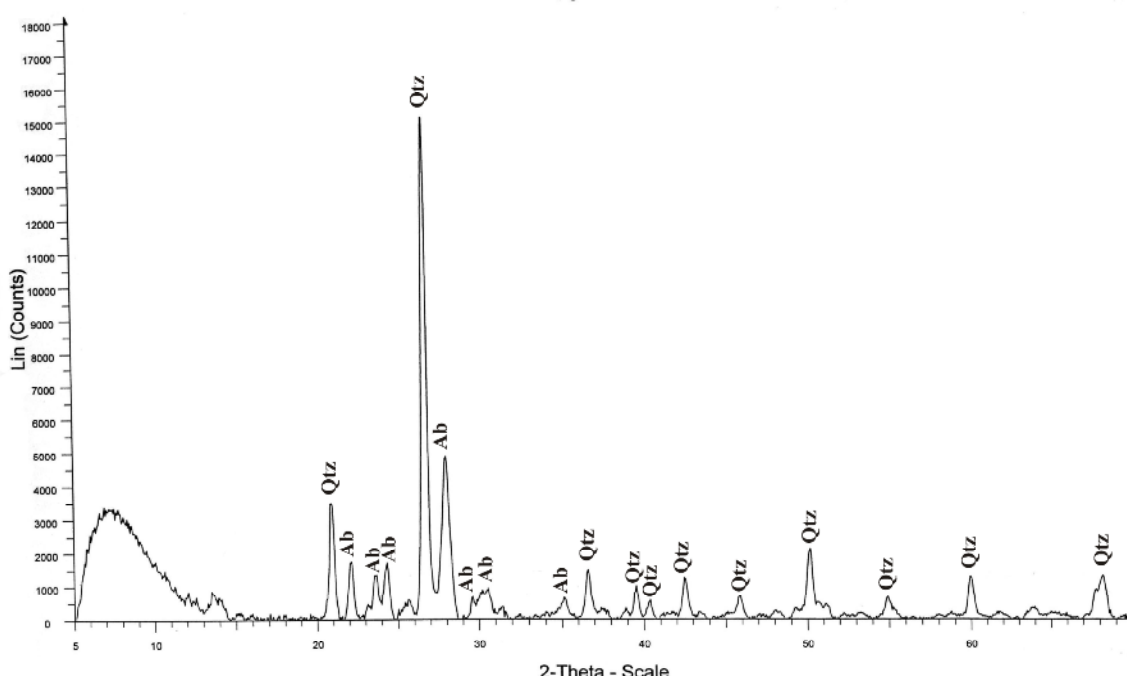
توفهای زئولیتی به توفهای دگرسان شده‌ای اطلاق می‌شود که می‌توانند تا بیش از ۷۵٪ حجم خود حاوی زئولیت باشند [۳]. این توفها معمولًاً دارای زئولیت‌ها، فازهای آمورف یا بلورین متعدد دیگرند. محتوای سیلیس سنگ اولیه در تشکیل انواع زئولیت‌های موجود و فازهای ثانویه دیگر، نقش تعیین کننده‌ای ایفا می‌کند. سنگ‌های پر سیلیس به تشکیل زئولیت‌های سیلیسی مثل کلینوپتیلولیت و موردنیت منجر

استفاده شده است. از این نمک‌ها آبگون‌هایی با غلظت ۱/۲۵ تا ۷/۵ مول بر لیتر تهیه و در آزمایش‌ها مورد استفاده قرار گرفته است. کلیه واکنش‌ها در دماهای 100°C و 150°C و ۹۶ ساعت انجام شده است. روش آزمایش به این صورت بوده است که نخست ۵ گرم پودر توف ریولیتی را در ۳۰ میلی‌لیتر محلول KOH حل کرده و به مدت ۳۰ دقیقه با همزن مغناطیسی (مدل MR Heiddph,3001K) هم زده شد. ۳۰ میلی‌لیتر از NaCl آبگون به آبگون همگن مرحله‌ی پیش اضافه و دوباره به مدت ۳۰ دقیقه با همزن مغناطیسی هم زده شد. آبگون همگن حاصل به اتوکلاو تفلونی (با حجم ۱۰۰ میلی‌لیتر) منتقل و با افزایش ۱۰ میلی‌لیتر آب مقطر به آن، در دمای موردنظر قرار داده شد. پس از گذشت مدت زمان موردنظر، مواد درون اتوکلاو خارج و پس از صاف شدن و شستشو با آب مقطر در دمای اتاق خشک شد. فراورده‌ی حاصل با دستگاه‌های پراش‌سنجد پودری پرتو ایکس، XRD، (ساخت شرکت بروکر مدل D₈ با تیوب مس و مجهز به دیافراگم ثابت در شرایط ۴۰ کیلو ولت و ۳۰ میلی آمپر) و میکروسکوپ الکترونی رویشی (مدل Tescan Vega مجهز به ابزار آنالیز شیمیایی در شرایط ۱۵ کیلو ولت) مورد شناسایی قرار گرفتند.

شده است. عوامل مؤثر در دگرسانی گرمابی شامل شیمی آبگون، دما، نفوذپذیری سنگ، ترکیب و پایداری مواد اولیه و طول زمان دگرسانی هستند [۱۴] که در این کار پژوهشی تأثیر حضور هم‌زمان یون‌های سدیم و پتاسیم و تأثیر دما در دگرسانی قلیایی توف‌های ریولیتی مورد بررسی قرار گرفته‌اند.

روش‌های آزمایشگاهی

به‌منظور بررسی دگرسانی توف‌های ریولیتی، نمونه‌هایی مناسب از توف‌های منطقه‌ی دارآباد واقع در شمال شرق تهران، انتخاب و به عنوان ماده‌ی اولیه در نظر گرفته شد. با تهیه‌ی مقاطع نازک و بررسی آن‌ها، نمونه‌های تقریباً سالم و نادگرسان پودر شده و بدون خالص‌سازی مورد استفاده قرار گرفته است. الگوی پراش پودری پرتو ایکس تهیه شده از نمونه‌ی اولیه، نشان دهنده‌ی حضور کانی‌های کوارتز و آلبیت (ترکیب یک توف ریولیتی) در آن است (شکل ۱). همچنین به‌منظور تعیین عناصر تشکیل دهنده در نمونه‌ی اولیه، آنالیز XRF روی آن‌ها انجام شد که بر مبنای نتایج ارائه شده در جدول ۱ مقدار $\text{SiO}_2 > 66\%$ بیانگر ماهیت ریولیتی نمونه اولیه است [۱۵]. در این کار پژوهشی از آب نمک برای تأمین یون Na^+ و از پتاس آبگون برای قلیایی کردن محیط و تأمین یون K^+



شکل ۱ الگوی XRD نمونه‌ی اولیه. Qtz: نشان دهنده‌ی کوارتز، Ab: نشان دهنده‌ی آلبیت.

جدول ۱ اکسیدهای تشکیل دهنده نمونه اولیه به روش XRF.

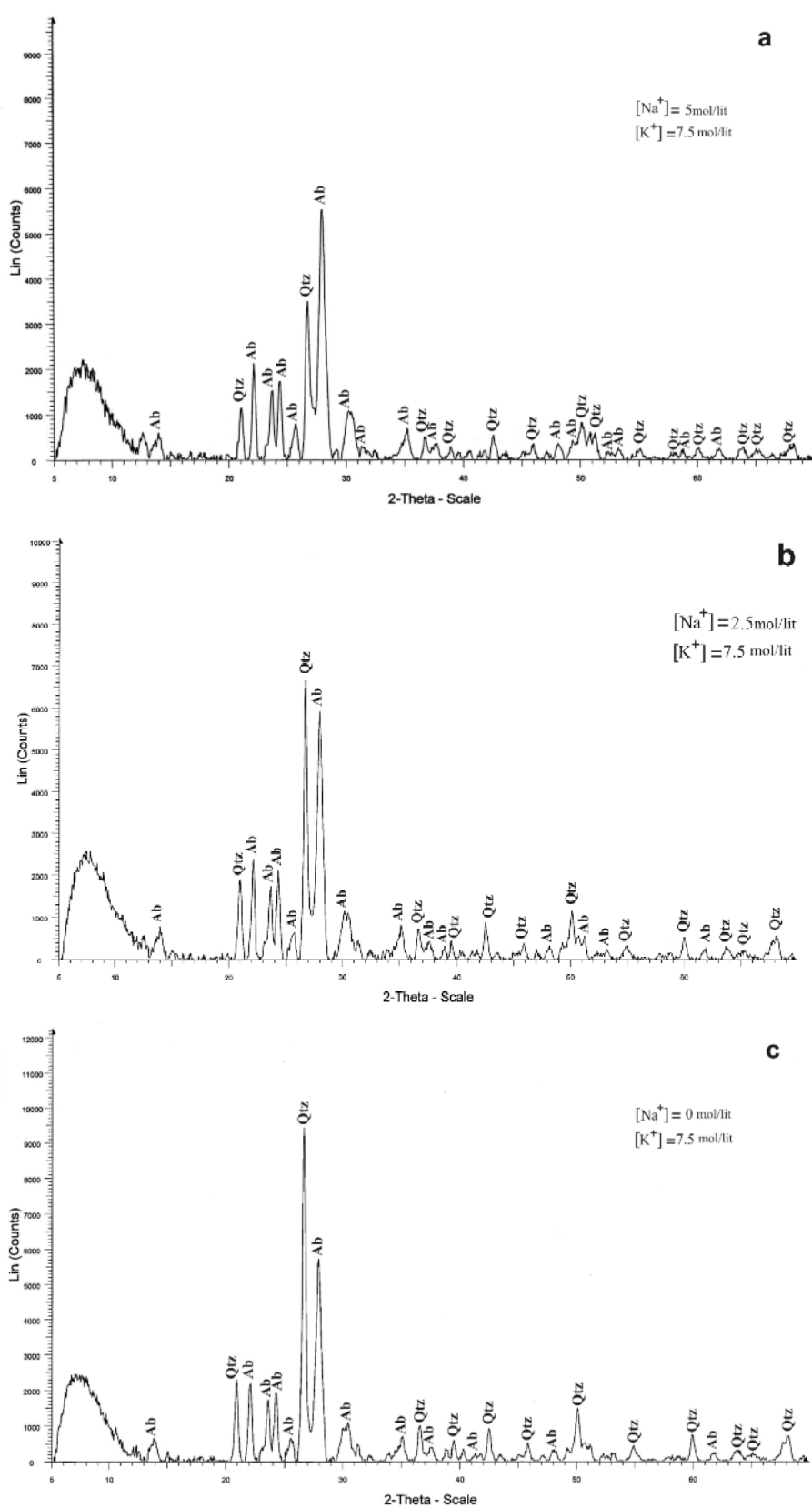
Sample	SiO ₂	Al ₂ O ₃	Fe ₂ O ₃	CaO	Na ₂ O	K ₂ O	MgO	TiO ₂	MnO	P ₂ O ₅
	%	%	%	%	%	%	%	%	%	%
۴۹	۷۸,۲۴	۱۲,۳۲	۰,۶۸	۰,۲۱	۴,۶۹	۲,۲۸	۰,۲۶	۰,۱۸۹	۰,۰۱۸	۰,۰۴۴

Sample	SO ₃	L.O.I	Cl	Ba	Sr	Cu	Zn	Pb	Ni	Cr
	%	%	Ppm							
۴۹	۰,۰۰۳	۰,۷۵	۱۰	۸۹۵	۱۰۷	۷۱	۱۲	۱۸	۳	۸

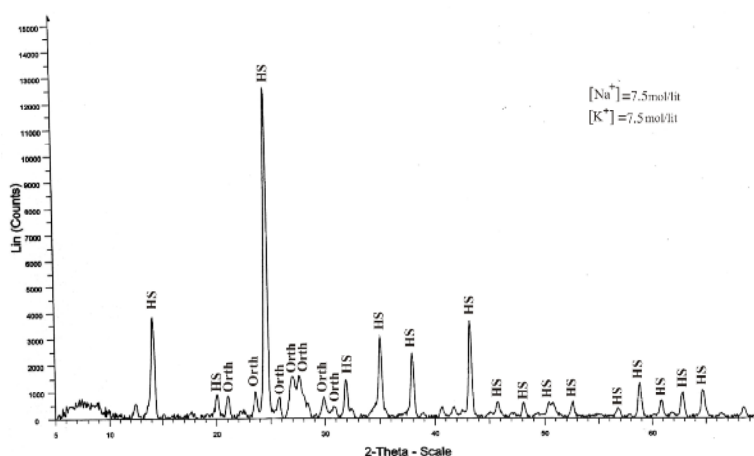
هیدروکسی سودالیت از جمله کانی‌هایی است که معمولاً در شرایط آزمایشگاهی و سنترهای گرمابی تشکیل می‌شود [۱۶] و به گروه زئولیت‌ها تعلق دارد. هیدروکسی سودالیت دارای سیستم تبلور مکعبی از نوع β و ساختار شبکه مشابه سودالیت است [۱۷] و نظری زئولیت‌های دیگر، هیدروکسی سودالیت یک کانال اکسیژن شش عضوی با قطر کانال 2.65 \AA [۱۸] دارد. اصولاً، مولکول‌هایی مثل هلیم (2.6 \AA), آمونیاک (2.5 \AA) و آب (2.65 \AA) می‌توانند وارد حفره هیدروکسی سودالیت شوند، به‌همین دلیل برای جداسازی مولکول‌های کوچک از آبگون یا گاز، نسبت به زئولیت‌های بزرگ حفره مناسب‌ترند [۱۹]. هیدروکسی سودالیت در شرایط مختلف و با استفاده از مواد اولیه گوناگونی سنتر شده است. از آن جمله کیدل و بورچرت توانستند با گرم کردن کائولینیت در یک آبگون غلیظ NaOH، به نسبت کائولینیت به NaOH به 3% ، در 500°C - 100°C به مدت ۳۰ ساعت، هیدروکسی سودالیت β با فرمول $\text{Na}_8[(\text{AlO}_2)_6(\text{SiO}_2)_6]\text{H}_2\text{O}$ و $a=8.860 \text{ \AA}$ تولید کنند [۲۰]. NaOH می‌چل لوی و ویارت توانستند با گرم کردن مخلوط Al_2O_3 , SiO_2 و H_2O در اتوکلاو، به هیدروکسی سودالیت با کلر جایگزین شده به وسیله‌ی آب و CO_2 دست یابند [۲۱]. خواجهی و همکاران موفق به ترکیب گرماب مستقیم هیدروکسی سودالیت از Al_2O_3 - α در حضور مخلوطی از آبگون‌های سیلیکات و آلومینات شدند [۱۹]. هنمی از خاکستر صنعتی، تحت تأثیر فرایندهای گرمابی متداول، در گستره‌ی دمایی 353°C - 363°C درجه کلین، به مدت ۳ تا ۲۴ ساعت، هیدروکسی سودالیت با قدرت تبدیل کاتیونی بالا نسبت به خاکستر اولیه، سنتر کرد [۲۲، ۲۳]. بررسی حاضر نشان می‌دهد که در دمای 150°C و در غلظت بالای Na^+ و K^+ (۷.۵ مول بر لیتر) نیز توفهای ریولیتی قابل تبدیل به هیدروکسی سودالیت‌اند.

بررسی نتایج

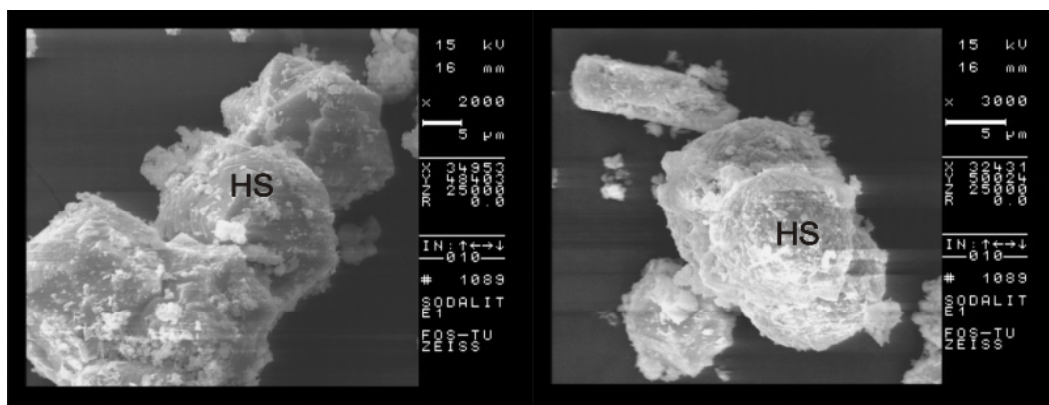
در این کار پژوهشی تأثیر حضور همزمان یون‌های سدیم و پتاسیم در دگرسانی توفهای ریولیتی در محیط قلایی و شرایط گرمابی مورد بررسی قرار گرفت. الگوی XRD نمونه اولیه، بیانگر حضور غالب کانی‌های کوارتز و آلبیت در توف ریولیتی بوده است (شکل ۱). الگوی XRD نمونه‌ی سنتر شده در دمای 100°C و غلظت ۷.۵ مول بر لیتر KOH و ۵ مول بر لیتر NaCl، نشان دهنده‌ی وجود کوارتز و آلبیت در فراورده‌های حاصل بود که در مقایسه با نمونه‌ی اولیه شدت قله‌های کوارتز شدیداً کاهش و شدت قله‌های آلبیت افزایش یافته بود (شکل ۲-a). الگوی XRD نمونه‌ی سنتر شده در دمای 100°C ، غلظت ۷.۵ مول بر لیتر KOH و ۲.۵ مول بر لیتر NaCl، نیز حضور کوارتز و آلبیت را به نمایش می‌گذارد، با این تفاوت که شدت قله‌های کوارتز در مقایسه با نمونه‌ی ۲-a بیشتر بود، در حالی که نسبت به نمونه‌ی اولیه کاهش کمتری نشان داد و شدت قله‌های آلبیت افزایش یافته بود (شکل ۲-b). همچنین الگوی XRD نمونه سنتر شده در دمای 100°C ، غلظت ۷.۵ مول بر لیتر KOH، کوارتز و آلبیت را به نمایش می‌گذارد، با این تفاوت که شدت قله‌های کوارتز در مقایسه با نمونه‌های ۲-a و ۲-b بیشتر بوده، ولی نسبت به نمونه‌ی اولیه کاهش کمتری داشته و شدت قله‌های آلبیت نسبت به نمونه ۲-b تغییری نشان نمی‌دهد (شکل ۲-c). الگوی XRD نمونه ۲-b تغییری در دمای 150°C و در غلظت بالای Na^+ و K^+ (۷.۵ مول بر لیتر) هیدروکسی سودالیت و ارتوکلاز را نشان می‌دهد. در این شرایط قله‌های کوارتز و آلبیت به طور کلی از بین رفته و قله‌های ارتوکلاز و هیدروکسی سودالیت به وجود آمدند (شکل ۳). شکل ۴ و جدول ۲ نشان دهنده‌ی تصاویر SEM و ترکیب شیمیایی آنالیزور EDX نمونه‌ای از هیدروکسی سودالیت سنتر شده در شرایط یاد شده‌اند.



شکل ۲ الگوی XRD نمونه‌های سنتزی در دمای ثابت 100°C و غلظت ثابت KOH ($7/5$ مول بر لیتر). Qtz: نشان دهنده کوارتز، Ab: نشان دهنده آلبیت.



شکل ۳ الگوی XRD نمونه‌ی سنتزی در دمای 150°C و غلظت بالای Na^{+} و K^{+} ۷/۵ مول بر لیتر. HS: نشان‌دهنده‌ی هیدروکسی سودالیت، Orth: نشان‌دهنده‌ی ارتوکلاز.



شکل ۴ تصاویر SEM نمونه‌ی سنتزی در دمای 150°C و غلظت بالای Na^{+} و K^{+} ۷/۵ مول بر لیتر. HS: نشان‌دهنده‌ی هیدروکسی سودالیت.

جدول ۲ آنالیز عناصر اصلی تشکیل دهنده نمونه‌ی سنتزی در دمای 150°C و غلظت بالای Na^{+} و K^{+} ۷/۵ مول بر لیتر) با استفاده از SEM-EDX

Element	Oxygen	Sodium	Magnesium	Aluminium	Silicon	Chlorine	Potassium	Calcium	Titanium	Iron
wt. %	۲۸,۵۵	۰,۸۳	۰,۱۶	۱۰,۱۰	۲۳,۰۹	۳,۱۴	۷,۹۰	۰,۷۷	۰,۳۱	۰,۷۵

داده‌های پراش مشاهده شده در الگوهای XRD برای هیدروکسی سودالیت سنتز شده پرازش خوبی را با داده‌های محاسبه شده برای این هیدروکسی سودالیت نشان می‌دهند (جدول ۴).

ابعاد یاخته‌ی یکه‌ی هیدروکسی سودالیت سنتز شده بر اساس داده‌های XRD و با استفاده از روش محاسباتی کوچکترین مربعات به صورت پارامترهای شبکه‌ی $a_0 = b_0 = c_0 = 8,876 \text{ \AA}$ مشخص شد. پارامترهای یاخته‌ی یکه بهترین پرازش را با داده‌های در دسترس از خود نشان می‌دهند (جدول ۳).

جدول ۳ پارامترهای یاخته‌ی یکه‌ی هیدروکسی سودالیت (مقدار داخل پرانتز بیانگر انحراف معیار است).

Hydroxy Sodalite	$a_0 (\text{\AA})$
This work	$8,876 \pm 0.76$
[۱۸] Breck (۱۹۷۴)	$8,86$
[۲۰] Borchert & Keidel (۱۹۴۷)	$8,86$

جدول ۴ مقایسهٔ فواصل صفحات بلور (d) محاسباتی (d_{calc}) با مشاهداتی (d_{obs}) میلر برای هیدروکسی‌سودالیت سنتز شده.

d_{obs}	h	k	l	d_{calc}	$d_{\text{obs}} - d_{\text{calc}}$
۶,۳۰۳	۱	۱	.	۶,۲۷۶	۰,۰۲۶
۴,۴۱۵	۲	.	.	۴,۴۳۸	-۰,۰۲۳
-	۲	۱	.	۳,۹۶۹	--
۳,۶۲۳	۲	۱	۱	۳,۶۲۴	-۰,۰۰۱
۲,۸۰۰	۳	۱	.	۲,۸۰۷	-۰,۰۰۷
۲,۵۶۲	۲	۲	۲	۲,۵۶۲	-۰,۰۰۱
۲,۳۷۰	۳	۲	۱	۲,۳۷۲	-۰,۰۰۲
-	۴	.	.	۲,۲۱۹	--
۲,۰۹۱	۴	۱	۱	۲,۰۹۲	-۰,۰۰۱
۱,۹۸۰	۴	۲	.	۱,۹۸۵	-۰,۰۰۴
۱,۸۹۰	۳	۳	۲	۱,۸۹۲	-۰,۰۰۳
۱,۸۰۸	۴	۲	۲	۱,۸۱۲	-۰,۰۰۴
۱,۷۴۰	۴	۳	۱	۱,۷۴۱	-۰,۰۰۱
۱,۶۱۹	۵	۲	۱	۱,۶۲۱	-۰,۰۰۲
۱,۵۶۷	۴	۴	.	۱,۵۶۹	-۰,۰۰۲
۱,۵۲۲	۵	۳	.	۱,۵۲۲	...
۱,۴۷۸	۴	۴	۲	۱,۴۷۹	-۰,۰۰۱
۱,۴۳۹	۵	۳	۲	۱,۴۴۰	-۰,۰۰۱

مول بر لیتر) و در دمای 150°C ، هیدروکسی‌سودالیت (دگرسانی زئولیتی) و ارتوکلاز حاصل می‌شود. این در حالی است که کانی کوارتز کاملاً حل شده و آلبیت، با تبادل یونی Na^+ با K^+ ، به ارتوکلاز تبدیل شده است (دگرسانی پتانسی). این نتیجه نشان می‌دهد که تبدیل آلبیت به ارتوکلاز در غلظت‌های بالای K^+ صورت می‌گیرد. همچنین در دمای ثابت 100°C (در محیط قلیایی (غلظت ثابت KOH ۷/۵ مول بر لیتر)، با افزایش Na^+/K^+ شدت قله‌های آلبیت افزایش یافته که می‌تواند بیانگر تأثیر یون سدیم در افزایش آلبیت باشد (دگرسانی سدیمی). بنابراین می‌توان پیشنهاد کرد که گرمابی-های غنی از سدیم و پتانسیم، (که یا از آغاز غنی از سدیم و پتانسیم بوده‌اند و یا هنگام گذر از نهشته‌های آذراواری ضمن واکنش با شیشه‌های آتشفسانی و کانی‌ها، دستخوش تغییر ترکیب شیمیایی شده و از کاتیون‌های نظری سدیم و پتانسیم غنی شده‌اند)، در طول گذر از نهشته‌های آذراواری در واکنش‌های دگرسانی شرکت کرده و در شرایط دمایی مناسب، کانی‌های زئولیتی با محتوای سیلیس کمتر، از جمله هیدروکسی‌سودالیت تشکیل می‌دهند. با توجه به اینکه هیدروکسی‌سودالیت دارای کاربردهای شیمیایی و صنعتی، از جمله جداسازی مولکول‌های کوچک نظری هیدروژن، هلیم و آب از آبگون‌ها یا گاز است، ترکیب آن از توف‌ها می‌تواند مفید واقع شود.

ساز و کار تشکیل هیدروکسی‌سودالیت و ارتوکلاز به‌این صورت است که محیط قلیایی حاصل از KOH باعث انحلال کوارتز [۲۴، ۲۵] و شرکت SiO_2 در ترکیب هیدروکسی‌سودالیت می‌شود. Al_2O_3 هیدروکسی‌سودالیت می‌تواند از آلبیت و یا از ماتریس سنگ تأمین شود. ارتوکلاز از تبادل کاتیونی K^+ به‌جای سدیم آلبیت به وجود می‌آید.

این بررسی‌ها نشان می‌دهند که در دمای 100°C و 150°C و در حضور آبگون‌های نمک طعام و پtas، شدت قله‌های کوارتز کاهش و آلبیت افزایش می‌یابند، به‌طوری که کاهش کوارتز و افزایش آلبیت در دمای 150°C از شدت بیشتری بر خوردار است. بررسی الگوهای XRD نمونه‌های سنتز شده در دمای ثابت (100°C) و در محیط قلیایی (غلظت KOH ۷/۵ مول بر لیتر)، نشان می‌دهد که با افزایش Na^+/K^+ شدت قله‌های آلبیت افزایش می‌یابد و نشان دهنده تأثیر یون سدیم در افزایش آلبیت و تأیید وجود آلبیت در نمونه اولیه است. همچنین با افزایش K^+/Na^+ کوارتز بیشتری حل می‌شود که نشان دهنده تأثیر KOH در حل شدن کوارتز است.

برداشت

بررسی‌های انجام شده نشان می‌دهد که در شرایط آزمایشگاهی، از دگرسانی گرمابی توف‌های ریولیتی در حضور آبگون‌های پtas و نمک طعام با غلظت بالای Na^+ و K^+ در حل شدن کوارتز است.

مراجع

- conditions," clay and clay minerals, Issue 3 48 (2000) 339-350.*
- [14] Bish D.L., Ming D.W., *Natural Zeolites: occurrence, properties, applications,* Mineralogical Society of America 45 (2001) 305.
- [15] Best M. "Igneous and metamorphic petrology," CBS publidher & distributors, first edition, 1986.p42.
- [16] Mumpton F. A., *Mineralogy and geology of natural zeolites,* Mineralogical society of America 4 (1977) 34.
- [17] Xu X., Bao Y., Song C., Yang W., Liu J., Lin L., *Microwave-assisted hydrothermal synthesis of hydroxyl-sodalite zeolite membrane,* Microporous and Mesoporous Materials 75 (2004) 173- 181.
- [18] Breck D.W., *Zeolite Molecular Sieves,* John Wiley, New York (1974).
- [19] Khajavi Sh., Kapteijn F., Jansen J.C., *Synthesis of thin defect-free hydroxy sodalite membranes: New candidate for activated water permeation,* Journal of membrane science 300 1-2 (2007) 156-164 .
- [20] Borchert W., Keidel J., *Beiträge zur Reaktionsfähigkeit der silicate bei niedrigen temperaturen. I. Mitteilung Reaktionen zwischen kaolin und NaOH. Heidelberger Beiträge zur*, Min. Petr 1 (1947) 2 (M.A. 10-364).
- [21] Wyart J., Michel- Lévy M., *Cristallisation des mélanges $Na_xK_{1-x}AlSiO_4$ en présence d'eau sous pression (formation de nepheline, kalsilite, hydro-cancrinite, hydrosodalite, mica),* Compt. Rend. Acad. Sci. PARIS 229 (1949) 131.
- [22] Henmi T., In Ojha K., Pradhan N.C., Samanta A.N., *Zeolite from fly ash: synthesis and characterization,* Clay Sci, 6 (1987 a) 277.
- [23] Henmi T., In Ojha K., Pradhan N.C., Samanta A.N., *Zeolite from fly ash: synthesis and characterization,* Soil Sci, Plant Nutr, 33 (1987 b) 517.
- [24] Knauss K., Wolery T., "The dissolution kinetics of quartz as a function of pH and time at 70°C", Geochimica et Cosmochimica Acta, 52 (1988) 43-53.
- [25] Gratz A., Bird P., Quiro G., "Dissolution of quartz in aqueous basic solution, 106–236°C: Surface kinetics of "perfect" crystallographic faces", Geochimica et Cosmochimica Acta, 54 (1990) 2911-2922.
- [1] Fisher R. V., Schmincke H. U., *Pyroclastic Rocks,* Springer, (1984) 90.
- [2] Tucker M. E., *Sedimentary Petrology,* Blackwell Science, (2001) Chapter 10, 221-230.
- [3] Heiken G., *Tuffs-Their properties, uses, hydrology , and resources,* The Geological Society of America Special Paper 408 (2006) Chapter 2.2, 11-15.
- [4] Pirajno., *Hydrothermal mineral deposits,* (1992) 703 p.
- [5] Parry S., Hutchinson R. W., *Origin of a complex alteration assemblage, Four Corners Cu-Zn prospect, Quebec, Canada,* Economic Geology 76 n.5(1981)1186-1201.
- [6] Gennaro M. D., Langella A., In "Van Bekkum H., Cejka G., Natural Zeolite, Zeolites and ordered mesoporous materials: progress and prospects", Miner. Deposita 31 (6) (1996) 539.
- [7] Gottardi G., Obradovic J., In "Van Bekkum H., Cejka G., Natural Zeolite, Zeolites and ordered mesoporous materials: progress and prospects", Miner, 56 (1978) 316.
- [8] Colella C., In Van Bekkum H., Cejka G., *Natural Zeolite, Zeolites and ordered mesoporous materials: progress and prospects,* 157 (2005) 13-40.
- [9] Hawkins D. B., In Pond W.G., Mumpton F. A., (Eds), *Zeoagriculture. Use of Natural Zeolites in Agriculture and Aquaculture,* Westview Press, Boulder, Colorado, (1984) 69.
- [10] Gottardi G., Galli E., *Natural Zeolites,* Springer- Verlag, Berlin- Heidelberg, Germany,(1985).
- [11] Gennaro M. D., Adabbo M., Langella A., In "Ming D.W., Mumpton F.A., (Eds.), *Natural Zeolites 93. Occurrence, Properties, Use, Int. Committee on Natural Zeolites*" Brockport, NY, (1995) 363.
- [12] Hiroshi A., Morihiro A., Hiroshi K., "Synthesis of Analsime from Volcanic Sediments in Sodium Silicate Solution," Contr.Mineral.and petrol.42, 1973, 81-92.
- [13] Fuente S., Cuadros J., Fiore S., Linares J., "Electron microscopy study of volcanic tuff alteration to illite- smectite under hydrothermal